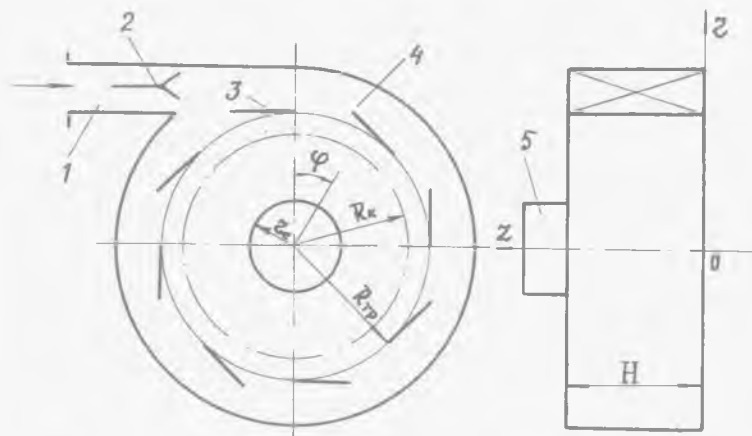


УДК 621.165

В.М.Глуценко, Ю.Л.Вороновский

ВЛИЯНИЕ ВИХРЕВОГО ЭФФЕКТА
НА ТЕПЛОМАССОБМЕН В ГЕНЕРАТОРЕ
ТЕРМОМЕХАНИЧЕСКИХ АЭРОЗОЛЕЙ

Проведение экспериментальных исследований по определению оптимальных условий процесса получения аэрозоля в широком диапазоне изменения геометрических размеров генератора, а также температурного и аэродинамического режимов связано с большими затратами времени и средств. Более рациональным является разработка физико-математической модели вихревого генератора термомеханических аэрозолей.



Р и с. 1. Принципиальная схема генератора аэрозолей

На рис. 1 представлена принципиальная схема генератора аэрозолей, состоящего из вихревой камеры 4, в тангенциальной патрубке 1 которой установлен распылитель 2. Подводимый горячий газ смешивается с распыленной жидкостью и через входные каналы, образованные направляющими лопатками 3, поступает в вихревую трубу. При этом капли будут увлекаться закрученным потоком и испаряться, а пары жидкости на выходе из сопла (диафрагмы) 5 будут конденсироваться с образованием аэрозоля.

При математическом описании процесса принимаем следующие допущения: поток плоский и осесимметричный; капли жидкости сферические; объемная концентрация капель мала; коагуляция и дробление капель отсутствует; вихревой поток турбулентный с принятием гипотезы постоянства эффективных (турбулентных) коэффициентов вязкости и теплопроводности [1].

Уравнение динамики одиночной капли с учетом ее нагрева и испарения записывается следующим образом:

$$\frac{d\vec{v}'}{dt} = \frac{3}{4} \frac{\rho}{\rho'} c_w \frac{|\vec{v} - \vec{v}'|}{D} (\vec{v} - \vec{v}') - \frac{3}{D} \vec{v}' \frac{dD}{dt} + \vec{g} \quad (1)$$

Система уравнений (1) в проекциях на оси цилиндрической системы координат τ, φ, z принимает вид:

$$\frac{dv'}{dt} = \frac{3}{4} \frac{\rho}{\rho'} c_w \frac{|\vec{v} - \vec{v}'|}{D} (v - v') \frac{W^2}{\tau} - \frac{3}{D} v' \frac{dD}{dt}, \quad (2)$$

$$\frac{dW'}{dt} = \frac{3}{4} \frac{\rho}{\rho'} c_w \frac{|\vec{v} - \vec{v}'|}{D} (W - W') \frac{V' W'}{\tau} - \frac{3}{D} W' \frac{dD}{dt}, \quad (3)$$

$$\frac{du'}{dt} = \frac{3}{4} \frac{\rho}{\rho'} c_w \frac{|\vec{v} - \vec{v}'|}{D} (u - u') - g - \frac{3}{D} u' \frac{dD}{dt} \quad (4)$$

Уравнения (2)-(4) дополняются условиями кинематики:

$$\frac{dz}{dt} = v'; \quad \frac{d\varphi}{dt} = \frac{W'}{\tau}; \quad \frac{dz}{dt} = u' \quad (5)$$

Составляющие скорости закрученного потока газа определяются согласно [1]:

$$\frac{v}{|V_K|} = -\frac{R_K}{\tau}; \quad \frac{W}{W_K} = \left(\frac{\tau}{R_K}\right)^{1-k}; \quad u = 0, \quad (6)$$

где $V_K = \frac{Q}{2\pi R_K H}$, $W_K = \frac{Q}{m f_K}$ - составляющие скорости газа на радиусе начальной закрутки R_K ;

$k = \frac{\rho |V_K| R_K}{\mu_T}$ - турбулентный аналог числа Рейнольдса.

В связи с малоизученностью влияния испарения капель на коэффициент сопротивления c_w принимаем допущение о равенстве коэффициентов испаряющейся и неиспаряющейся капли. Тогда коэффициент аэродинамического сопротивления в зависимости от режима обтекания капли может быть представлен следующим образом:

$$c_w = \frac{24}{Re} \text{ при } Re = \frac{\rho |\vec{v} - \vec{v}'| D}{\mu} < 1, \quad (7)$$

$$c_w = \frac{24}{Re} + \frac{4}{3} \frac{1}{Re^{1/3}} \text{ при } Re > 1$$

Система уравнений (2)-(7) замыкается уравнениями тепло- и массообмена для сферической капли [2]:

$$\text{при } T' < T_{\text{исп}} \\ \frac{\pi D^3}{6} c' \frac{dT'}{dt} = \alpha \pi D^2 (T - T'), \quad (8)$$

$$D = D_K; \quad (9)$$

при $T' \geq T_{\text{усн}}$.

$$\frac{dD}{dt} = - \frac{2\lambda Nu}{\rho c D} \ln \left[1 + \frac{c}{L} (T - T') \right]; \quad (10)$$

$$T' = T'_K. \quad (11)$$

Изменение температуры газа T принимаем согласно [1]:

$$T = 1 - \frac{(\alpha-1)(A-1) M_K^2 \left[1 - \left(\frac{z}{R_K} \right)^{A-1} + \frac{A P_{zT}}{2A-2} \left(\left(\frac{z}{R_K} \right)^{2-2A} - 1 \right) \right]}{2A-2-A P_{zT}} \quad (12)$$

Начальные условия определяются координатами и параметрами капель жидкости на входе в вихревую трубу:

$$t=0: z=z_0; \varphi=\varphi_0; x=z_0; V'=V'_K; W=W'_K; U=U'_K; T'=T'_K; D=D_K, \quad (13)$$

а их численные значения зависят от конструкции распылителя и режима подачи.

Система уравнений (2)-(13) для численного решения была приведена к безразмерному виду. В качестве масштабов приведения были выбраны:

$$\begin{aligned} \bar{t} &= t \frac{|V_K|}{R_K}, \quad \bar{z} = \frac{z}{R_K}, \quad \bar{x} = \frac{x}{H}, \quad \bar{V}' = \frac{V'}{|V_K|}, \\ \bar{W}' &= \frac{W}{W_K}, \quad \bar{U}' = \frac{U'}{|V_K|}, \quad \bar{T} = \frac{T}{T_K}, \quad \bar{T}' = \frac{T'}{T_K}, \quad \bar{D} = \frac{D}{D_K} \end{aligned} \quad (14)$$

Систему уравнений динамики, кинематики и тепломассообмена с учетом (7) и (14), опуская черточки над безразмерными величинами, можно представить в виде:

$$\frac{dV'}{dt} = C_w \frac{Re'}{24St} \left(-\frac{B_1}{z} - V' \right) - B_2 \frac{W'^2}{z} - \frac{3}{D} V' \frac{dD}{dt}; \quad (15)$$

$$\frac{dW'}{dt} = C_w \frac{Re'}{24St} (B_4 z^{+A} - W') - \frac{V' W'}{z} - \frac{3}{D} W' \frac{dD}{dt}; \quad (16)$$

$$\frac{dU'}{dt} = C_w \frac{Re'}{24St} (U' - Fz) - \frac{3}{D} U' \frac{dD}{dt}; \quad (17)$$

$$\frac{dz}{dt} = V'; \quad \frac{d\varphi}{dt} = B_2 \frac{W'}{z}; \quad \frac{dz}{dt} = \ell U'; \quad (18)$$

$$\text{при } T' < B_7, \quad \frac{dT'}{dt} = \beta \frac{Nu}{Re Re_K} \frac{\rho}{\rho'} \frac{c}{c'} \frac{R_K}{D_K} \frac{1}{D^2} (B_5 T - T'), \quad (19)$$

$$D=1; \quad (20)$$

$$\text{при } T' \geq B_7, \quad \frac{dD}{dt} = -2 \frac{Nu}{Re Re_K} \frac{\rho}{\rho'} \frac{R_K}{D_K} \frac{1}{D} \ln \left[1 + B_6 (B_5 T - T') \right]; \quad (21)$$

$$T'=1. \quad (22)$$

$$\text{Здесь } Re_{\kappa} = \frac{\rho D |V_{\kappa}|}{\mu}, \quad St = \frac{\rho' D_{\kappa}^2 |V_{\kappa}| D^2}{18 \mu R_{\kappa}}, \quad Fz = \frac{g R_{\kappa}}{|V_{\kappa}|^2},$$

$$Re' = Re_{\kappa} D \sqrt{\left(-\frac{B_1}{z} - V'\right)^2 + (B_3 z^{1-\kappa} - B_2 W')^2 + U'^2},$$

$$Pr = \frac{\mu C}{\lambda}, \quad Nu = \frac{\alpha D D_{\kappa}}{\lambda_T}, \quad \text{определяемое согласно [3]:}$$

$$Nu = 2 + 0,55 Re'^{0,5} Pr^{0,333},$$

$$B_1 = \frac{|V_{\kappa}|}{|V_{\kappa}'|}, \quad B_2 = \frac{W_{\kappa}}{|V_{\kappa}'|}, \quad B_3 = \frac{W_{\kappa}}{|V_{\kappa}'|^2}, \quad B_4 = \frac{W_{\kappa}}{W_{\kappa}'^2},$$

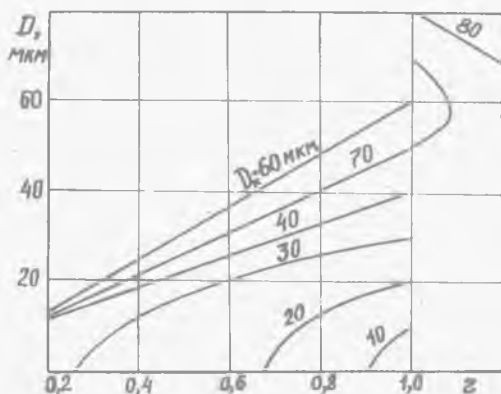
$$B_5 = \frac{T_{\kappa}}{T_{\kappa}'}, \quad B_6 = \frac{c T_{\kappa}}{L}, \quad B_7 = \frac{T_{\kappa} \rho}{T_{\kappa}'}, \quad l = \frac{R_{\kappa}}{H}$$

Начальные условия в безразмерном виде будут следующими:

$$t=0: z = \bar{z}_0, \quad \varphi = \bar{\varphi}_0, \quad \chi = \bar{\chi}_0, \quad V' = -1, \quad W' = 1, \quad U' = 0, \quad T' = 1, \quad D = 1, \quad (23)$$

где $\bar{z}_0, \bar{\varphi}_0, \bar{\chi}_0$ - безразмерные координаты капли на входе в вихревую трубу.

Система уравнений (15)-(22) с начальными условиями (23) решалась численно методом Рунге-Кутты на ЭВМ ЕС-1022.

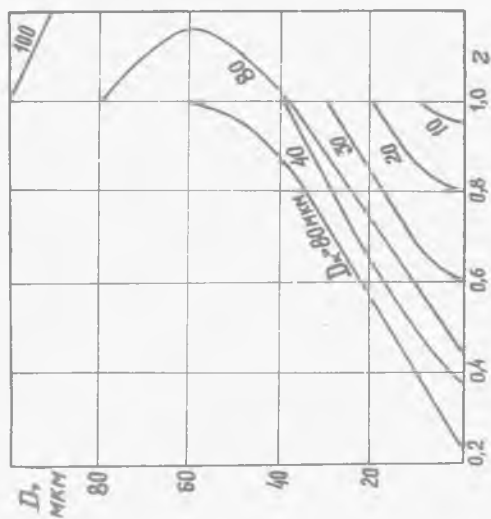


Р и с. 2. Изменение диаметра капель по радиусу при $T_{\kappa} = 200^{\circ}\text{C}$

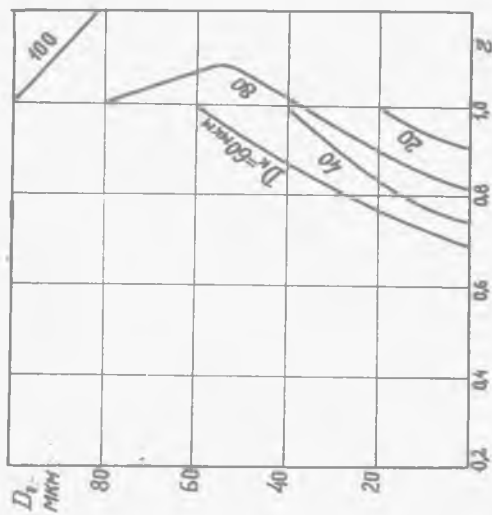
м/с; температура газа $T_{\kappa} = 200-600^{\circ}\text{C}$; начальный диаметр капель $D = 10-100$ мкм.

Оптимальный режим работы генератора достигается при испарении капель максимального размера с исключением уноса в сопло неиспарившихся капель. На рис. 2-4 представлено изменение диаметра испаряющихся капель по радиусу вихревого генератора. Как следует из графиков (рис. 2), при температуре на входе $T_{\kappa} = 200^{\circ}\text{C}$ полностью испаряются капли меньше 30 мкм, капли с $D_{\kappa} = 40-70$ мкм не успевают полностью испариться и выхо-

Программа расчета была составлена таким образом, чтобы получить в момент времени траекторию движения капли, составляющие скорости и размер капли. При достижении значения $D < 0,01 D_{\kappa}$ считаем, что капля испарилась, а при $z \geq R_{TP}$ или $z < z_c$ коснулась стенки или влетела из генератора соответственно. Расчеты проводились для частиц воды с изменением параметров: геометрическая характеристика генератора $B = \frac{2\pi R_{\kappa} H}{m f_{\kappa}} = 1-7$; входная скорость $W_{\kappa} = 10-20$

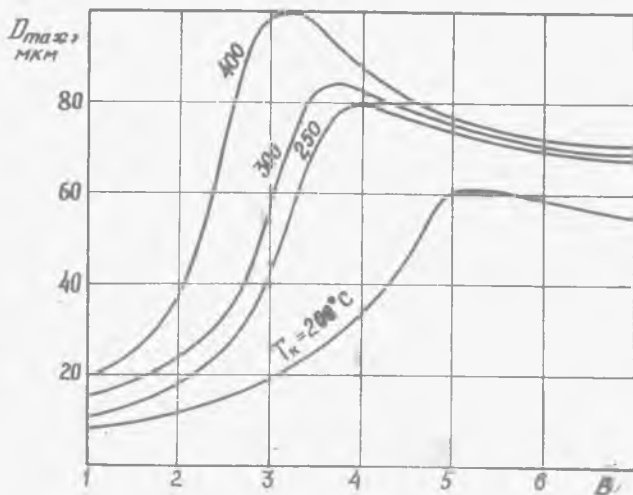


Р и с. 3. Изменение диаметра капель различных начальных размеров по радиусу генератора при $T_k = 250^\circ\text{C}$



Р и с. 4. Изменение диаметра капель различных начальных размеров по радиусу генератора при $T_k = 400^\circ\text{C}$

дят в сопло с размером $D = 12-14$ мкм, а капли $D_k \geq 80$ мкм сепарируются на боковую поверхность вихревой трубы. При $T_k = 250^\circ\text{C}$ (рис. 3) полностью испаряются капли $D_k \leq 80$ мкм, а более крупные сепарируются. Дальнейшее повышение температуры $T_k = 400^\circ\text{C}$ (рис. 4) обеспечивает испарение на радиусах ближе к R_k , однако максимальный размер полностью испаряющихся капель почти не увеличивается. Следовательно, при разработке вихревых генераторов термомеханических аэрозолей номинальный температурный режим находится в пределах $250-300^\circ\text{C}$.



Р и с. 5. Зависимость максимального диаметра испаряющихся капель от геометрической характеристики входа

Из рис. 5 следует, что с увеличением T_k параметр B необходимо уменьшить, при этом предпочтительна разработка генераторов с геометрической характеристикой входа 3-4.

Таким образом, проведение данных исследований позволяет выбрать номинальный температурный режим, оптимизировать геометрические характеристики вихревого генератора термомеханических аэрозолей.

Л и т е р а т у р а

1. Жигула В.А., Коваль В.П. Газодинамика закрученного потока. - Прикладная механика, Киев, 1975, т. II, вып. 9, с. 65-72.
2. Раушенбах Б.В., Белый С.А., Беспалов И.В. и др. Физические основы рабочего процесса в камерах сгорания воздушно-реактивных двигателей. - М.: Машиностроение, 1964. - 526 с.